

## 1 Sistema Máquina-Barra infinita: apresentação e modelagem

Modelos do tipo máquina-barra infinita como o representado pelo diagrama unifilar da Fig. 1 são frequentemente utilizados em estudos de estabilidade de Sistemas Elétricos de Potência para investigar o comportamento de um gerador síncrono (normalmente uma máquina equivalente a uma central de geração) conectado mediante um sistema de transmissão a um grande sistema elétrico de inércia muito maior (este representado pela barra infinita). Na Fig. 1,  $E\angle\delta$  é a tensão complexa na barra terminal da máquina,  $E_\infty\angle 0$  é a tensão da barra infinita,  $X_e$  é a reatância equivalente do sistema de transmissão (cujas perdas são desprezadas, e portanto  $R_e \approx 0$ ) e  $P_e$  é a potência entregue pela máquina ao grande sistema representado pela barra infinita.

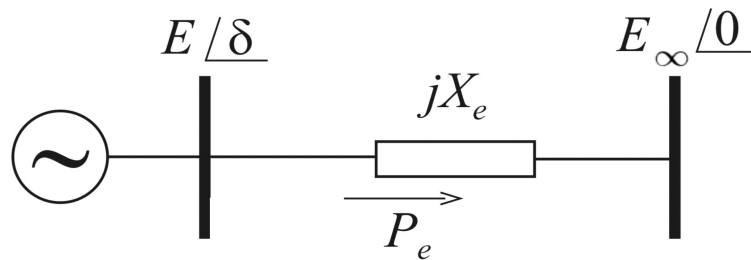


Figura 1: Representação de um sistema constituído por uma máquina síncrona conectado a barra infinita via sistema de transmissão, cujas perdas são desprezadas.

Um tipo de estudo particularmente importante baseado na representação máquina barra-infinita é o de análise de estabilidade *a pequenas perturbações*. Neste caso, o modelo é linearizado com respeito a um dado ponto de operação (normalmente associado à operação em carga pesada), de modo que métodos de análise e projeto de sistemas lineares podem ser empregados. Quando um modelo de gerador síncrono de terceira ordem é utilizado, o sistema linearizado máquina-barra infinita pode ser representado por um modelo de terceira ordem conhecido como *modelo de Heffron-Phillips*, cujo diagrama de blocos é apresentado na Figura 2. As constantes  $K_1$  a  $K_6$  dependem da topologia e parâmetros da rede, dos parâmetros das máquinas e do ponto de operação inicial do sistema. Além disso,  $M = 2H$ , onde  $H$  é a constante de inércia do gerador síncrono,  $T'_{do}$  é a constante de tempo transitória de circuito aberto do gerador,  $D$  é o coeficiente de amortecimento da carga e  $\omega_b = 2\pi \times 60$  é a frequência nominal do sistema em rad/s. Na Figura 2 também é representado o sistema de excitação da máquina, cuja função de transferência é dada por:

$$EXC(s) = \frac{K_e}{1 + sT_e}$$

sendo  $K_e$  e  $T_e$  o ganho e a constante de tempo do sistema de excitação, respectivamente.

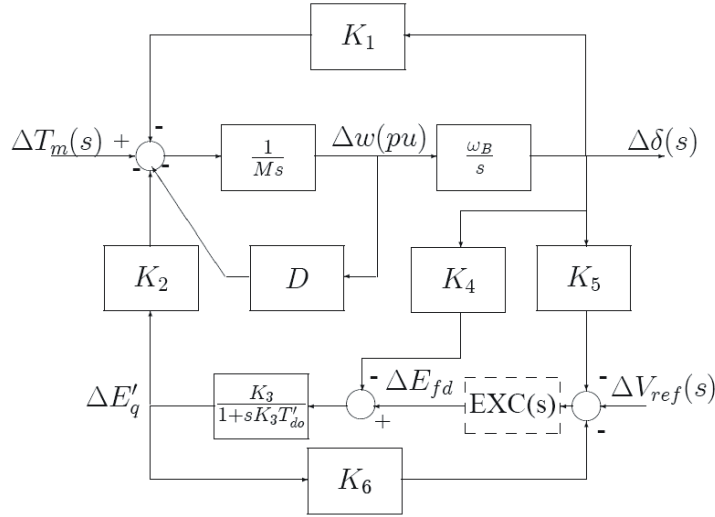


Figura 2: Diagrama de blocos do modelo linearizado do sistema máquina-barra infinita, incluindo sistema de excitação.

O diagrama de blocos da Figura 2 pode ser convertido em um modelo no espaço de estados, sendo o vetor de estados dado por:

$$\mathbf{x} = [\Delta E'_q \quad \Delta\omega \quad \Delta\delta \quad \Delta E_{fd}]^T$$

onde:

- $\Delta E'_q$  : variação da tensão transitória de eixo em quadratura;
- $\Delta\omega$  : desvio de velocidade da máquina;
- $\Delta\delta$  : desvio no ângulo do rotor da máquina;
- $\Delta E_{fd}$  : variação da tensão de campo da máquina.

As entradas do sistema são

$$\mathbf{u} = [\Delta V_{ref} \quad \Delta T_m]^T$$

onde  $V_{ref}$  é a tensão de referência do regulador de tensão e  $T_m$  é o torque mecânico entregue pela turbina ao eixo do gerador. Finalmente, as saídas são o desvio de velocidade  $\Delta\omega$  e o desvio no torque elétrico fornecida pela máquina,  $\Delta T_e$ , formando o vetor  $\mathbf{y} = [\Delta\omega \quad \Delta T_e]^T$ . Da Figura 2, é possível se deduzir o modelo dinâmico no tempo para o sistema máquina-barra infinita, cujas equações são:

$$\begin{aligned} 2H \frac{d\Delta\omega}{dt} + D \Delta\omega &= \Delta T_m - (K_1 \Delta\delta + K_2 \Delta E'_q) \\ \Delta\dot{\delta} &= 2\pi f^0 \times \Delta\omega(t) \\ K_3 T'_{do} \frac{d\Delta E'_q}{dt} + \Delta E'_q &= K_3 (\Delta E_{fd} - K_4 \Delta\delta) \\ T_\epsilon \frac{d\Delta E_{fd}}{dt} + \Delta E_{fd} &= K_\epsilon [\Delta V_{ref} - (K_5 \Delta\delta + K_6 \Delta E'_q)] \end{aligned} \quad (1)$$

No presente trabalho, o gerador síncrono tem potência nominal de 192 MVA, e na condição de operação considerada está entregando 163 MW à barra infinita. Os parâmetros da máquina, sistema de transmissão e sistema de excitação são dados na Tabela 1, enquanto que as constantes  $K_1, \dots, K_6$  do modelo de Heffron-Phillips são fornecidos na Tabela 2, ambas apresentadas no Anexo A.

A representação do modelo matemático (1) no espaço de estados é (verifique!):

$$\dot{\mathbf{x}} = \begin{bmatrix} -0,459 & 0 & -0,2893 & 0,1667 \\ -0,437 & 0 & -0,3586 & 0 \\ 0 & 377 & 0 & 0 \\ -5186 & 0 & 516,8 & -50 \end{bmatrix} \mathbf{x} + \begin{bmatrix} 0 & 0 \\ 0 & 0,3751 \\ 0 & 0 \\ 10000 & 0 \end{bmatrix} \mathbf{u}$$

$$\mathbf{y} = \begin{bmatrix} 0 & 1 & 0 & 0 \\ 1,165 & 0 & 0,9559 & 0 \end{bmatrix} \mathbf{x}$$

O trabalho computacional consiste das seguintes etapas:

## 2 Análise

### 1. Controlabilidade e Observabilidade

- Verifique que é possível controlar completamente o sistema máquina-barras infinita usando as duas entradas disponíveis;
- Se apenas a tensão de referência do regulador de tensão  $\Delta V_{ref}$  for utilizada como entrada (isto é, com  $u_2 = \Delta T_m = 0$ ) o sistema ainda permanece controlável?
- Verifique que o sistema é observável quando ambas as variáveis  $y_1 = \Delta\omega$  e  $y_2 = \Delta T_e$  são disponíveis via medição direta;
- Suponha agora que a única variável mensurável é o desvio de velocidade do gerador. Nestas condições, o modelo da máquina é observável?
- Repita o item c), se agora o desvio no torque elétrico fornecido pela máquina é a única variável medida.

### 2. Estabilidade

- Calcule os autovalores em malha aberta do modelo linearizado e identifique os autovalores dominantes (que estão associados aos modos eletromecânicos);
- Determine a frequência em Hz dos modos dominantes, bem como sua razão de amortecimento;
- Análise a estabilidade do sistema máquina-barras infinita. Há autovalores instáveis? Em caso positivo, quais são eles? É possível associá-los a um modo específico (eletromecânico, da excitatriz, etc.)?
- Utilizando o Matlab, Simulink ou outra ferramenta de simulação similar, determine a curva de resposta do torque elétrico a um degrau de torque mecânico  $\Delta T_m = 0,05 pu$  durante  $5,0 s$ , considerando que não há alteração da tensão de referência do regulador (isto é,  $\Delta V_{ref} = 0$ ). Analise a correlação entre a curva resultante e os resultados obtidos nos itens 2b e 2c.

### 3 Projeto

Nesta seção, considere que a única entrada de controle é  $\Delta V_{ref}$  (ou seja,  $u_2 = \Delta T_m = 0$ ) e que a única saída mensurável é  $\Delta T_e$  (isto é, supõe-se que  $\Delta\omega$  não está disponível para medição).

#### 3.1 Projeto por alocação de polos (Controle modal e observador)

1. Projete um controle modal que garanta que os polos *dominantes* do sistema em malha fechada sejam complexos conjugados, com frequência igual à dos polos dominantes em malha aberta e com amortecimento de no mínimo 6%;
2. Projete um observador de estados para o sistema de uma entrada e uma saída, arbitrando a posição dos polos do observador suficientemente à esquerda do plano complexo de modo a conseguir um desempenho satisfatório do sistema;
3. Simule o sistema em malha fechada para  $\mathbf{x}(0)$  arbitrário e  $\hat{\mathbf{x}}(0) = \mathbf{0}$  e analise o seu desempenho em termos de: (a) convergência da evolução no tempo dos estados estimados para as curvas dos estados verdadeiros, e (b) comportamento dinâmico (tempo de resposta, amortecimento) da resposta do sistema em malha fechada.

#### 3.2 Projetos LQR e LQG

1. Projete um controlador por realimentação de estados usando a estratégia *LQR* (controle ótimo). Considere inicialmente uma matriz de ponderação dos estados da forma  $\mathbf{Q} = \text{diag}\{0, q_2, 0, 0\}$ , onde  $q_2$  é um número inteiro positivo, e  $R = 1$ , e avalie posteriormente outras alternativas de definição de  $\mathbf{Q}$  e  $R$ ;
2. Projete um filtro de Kalman (estratégia *LQG*) para estimar os estados do sistema;
3. Encontre os auto-valores para o sistema em malha fechada (Processo + LQR + LQG);
4. Simule o sistema arbitrando valores iniciais não nulos para os estados, compare o movimento dos estados observados ao dos estados do processo e analise o desempenho do sistema em malha fechada.

## ANEXO A

Tabela 1: Parâmetros da máquina, sistema de transmissão e regulador de tensão \*

Parâmetros da máquina	
Potência nominal ( $S_{base}$ )	192 MVA
Constante de inércia ( $H$ )	1,333 s
Coefficiente de amortecimento ( $D$ )	0
Reatância transitória de eixo direto ( $X'_d$ )	0,23 pu
Reatância transitória de eixo em quadratura ( $X'_q$ )	0,378 pu
Reatância síncrona de eixo direto ( $X_d$ )	1,7199 pu
Reatância síncrona de eixo em quadratura ( $X_q$ )	1,6598 pu
Resistência de armadura ( $R_a$ )	0
Constante de tempo transitória de eixo direto ( $T'_{d0}$ )	6 s
Constante de tempo transitória de eixo em quadratura ( $T'_{q0}$ )	0,535 s
Parâmetros do sistema de transmissão	
Reatância externa ( $X_e$ )	0,6194 pu
Parâmetros do regulador de tensão	
Ganho ( $K_\epsilon$ )	200
Constante de tempo ( $T_\epsilon$ )	0,02 s

\* Valores em pu na base de potência da máquina (192 MVA)

Tabela 2: Parâmetros do modelo de Heffron-Phillips

$K_1$	$K_2$	$K_3$	$K_4$	$K_5$	$K_6$
0,9560	1,1650	0,3631	1,7358	-0,0517	0,5186